

2022.12.26 汇报

周添文

数学科学学院
北京师范大学

图像去遮挡 (Obstruction) 算法

本文主要研究去除图像中遮挡物的算法，其中，遮挡物可以是多种多样的，其大致可分为可反射（如玻璃）的和透明的（如栅栏）等。

图像去遮挡 (Obstruction) 算法

本文主要研究去除图像中遮挡物的算法，其中，遮挡物可以是多种多样的，其大致可分为可反射（如玻璃）的和不透明的（如栅栏）等。在图像拍摄过程中，我们要求对同一场景拍摄不同角度的多张照片（类似全景照片），同时，要求场景中的**每一个像素至少可以在一帧照片中是不被遮挡的**。

符号规定

我们将一个标量记作小写字母 a , 将一个向量记作大写字母 A , 将一个矩阵记作粗体的大写字母 \mathbf{A} , 用 $A \circ B$ 表示两个向量的内积。

图像的分解

将拍摄到的图像记作 $I \in \mathbb{R}^n$ ，我们可以将其分解为

$$I = I_O + A(I_B - I_O) \quad (1)$$

即为

$$I = (1 - A)I_O + AI_B \quad (2)$$

其中，向量 $I_O \in \mathbb{R}^n$ 代表遮挡层， n 代表像素数量， $I_B \in \mathbb{R}^n$ 代表真实的背景图像， $A \in \mathbb{R}^n$ 是 α 混合掩膜 (alpha blending mask)

图像的分解

将拍摄到的图像记作 $I \in \mathbb{R}^n$ ，我们可以将其分解为

$$I = I_O + A(I_B - I_O) \quad (1)$$

即为

$$I = (1 - A)I_O + AI_B \quad (2)$$

其中，向量 $I_O \in \mathbb{R}^n$ 代表遮挡层， n 代表像素数量， $I_B \in \mathbb{R}^n$ 代表真实的背景图像， $A \in \mathbb{R}^n$ 是 α 混合掩膜 (alpha blending mask)

注：Alpha blending 是将半透明的前景色与背景色结合的过程，可以得到混合后的新颜色。一幅彩色图像的每个像素用 R, G, B 三个分量表示，若每个分量用 8 位，那么一个像素共用 $3 \times 8 = 24$ 位表示。在用 32 位表示一个像素时，若 R, G, B 分别用 8 位表示，剩下的 8 位常称为 **通道 (alpha channel) 位**。它用来表示该像素如何产生半透明效果。alpha 的取值一般为 0 到 255。为 0 时，表示是全透明的，即图片是看不见的。为 255 时，表示图片即为原始图像。而中间的任意值即为半透明状态。

图像的分解

分解式

$$I = (1 - A)I_O + AI_B \quad (3)$$

中, $A \circ I_B$ 表明对背景图像 I_B 与 A 做向量内积, 也就是将其作用在背景图像的每一个像素上

图像的分解

分解式

$$I = (1 - A)I_O + AI_B \quad (3)$$

中, $A \circ I_B$ 表明对背景图像 I_B 与 A 做向量内积, 也就是将其作用在背景图像的每一个像素上

特别地, 如果遮挡物是一个可以反射的物体, 则由于玻璃等常见反射物都是各向同性的 (Homogeneous)。因此, 我们可以认为这种情况下的 A 是常值向量。

图像的分解

显然，由于计算机并不能自动区分背景和遮挡物，因此，只针对一张图片是无法进行上述分解的。

图像的分解

显然，由于计算机并不能自动区分背景和遮挡物，因此，只针对一张图片是无法进行上述分解的。

故在拍摄过程中，我们要求拍摄者移动相机，拍下多张图片。在移动过程中，由于遮挡物一般距离镜头较近，而背景距离镜头较远，因此遮挡物在不同照片中的移动距离会比背景更显著。利用这一差异，我们尝试区分开遮挡物和背景。

预期效果

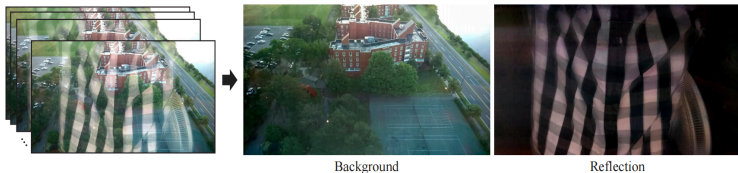


图: 效果图 1



图: 效果图 2

对于拍摄的一组图像，我们（任意）选取一帧图像作为参考帧，记作 t_0 ，尝试利用其他帧 t 的信息估计 t_0 帧所对应的 I_B 和 I_O .

¹三维速度矢量在图像平面上的映射

具体操作

对于拍摄的一组图像，我们（任意）选取一帧图像作为参考帧，记作 t_0 ，尝试利用其他帧 t 的信息估计 t_0 帧所对应的 I_B 和 I_O 。

记 V_O^t, V_B^t 为第 t 帧中，障碍物和背景所对应的运动场 (motion fields)¹

¹三维速度矢量在图像平面上的映射

具体操作

对于拍摄的一组图像，我们（任意）选取一帧图像作为参考帧，记作 t_0 ，尝试利用其他帧 t 的信息估计 t_0 帧所对应的 I_B 和 I_O 。

记 V_O^t, V_B^t 为第 t 帧中，障碍物和背景所对应的运动场 (motion fields)¹。由于打印出来的照片一般都是不平的，因此其可以看作参考帧 t_0 经过一定扭曲 (wrap) 后形成的图像。记 $\mathbf{W}(V_B^t) \in \mathbb{R}^{n \times n}$ 为图像的扭曲矩阵，则 $\mathbf{W}(V_B^t)I_B$ 即为背景图像 I_B 扭曲后的结果。

¹三维速度矢量在图像平面上的映射

具体操作

对于拍摄的一组图像，我们（任意）选取一帧图像作为参考帧，记作 t_0 ，尝试利用其他帧 t 的信息估计 t_0 帧所对应的 I_B 和 I_O 。

记 V_O^t, V_B^t 为第 t 帧中，障碍物和背景所对应的运动场 (motion fields)¹。由于打印出来的照片一般都不平的，因此其可以看作参考帧 t_0 经过一定扭曲 (wrap) 后形成的图像。记 $\mathbf{W}(V_B^t) \in \mathbb{R}^{n \times n}$ 为图像的扭曲矩阵，则 $\mathbf{W}(V_B^t)I_B$ 即为背景图像 I_B 扭曲后的结果。因此，第 t 帧的图像可以表示为：

$$I^t = (1 - \mathbf{W}(V_O^t)A) \circ \mathbf{W}(V_O^t)I_O + \mathbf{W}(V_O^t)A \circ \mathbf{W}(V_B^t)I_B \quad (4)$$

¹三维速度矢量在图像平面上的映射

扭曲矩阵

图像的扭曲 (wrap) 可以看作图像定义域改变的过程，其均可以通过矩阵进行描述

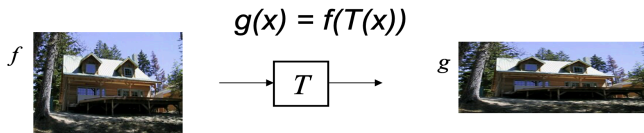


图: 图像扭曲

不同类型的图像扭曲



translation



rotation



aspect



affine



perspective



cylindrical

图: 不同类型的图像扭曲

具体操作

由于 α 混合掩膜是由障碍物产生的，因此， α 混合掩膜的运动状态与障碍物 I_O 相同，与背景 I_B 无关。

具体操作

由于 α 混合掩膜是由障碍物产生的，因此， α 混合掩膜的运动状态与障碍物 I_O 相同，与背景 I_B 无关。

因此，我们可以进行如下化简：

将 $(1 - A) \circ I_O$ 简记作 I_O ，原方程可化简为：

$$I^t = \mathbf{W}(V_O^t)(1 - A) \circ \mathbf{W}(V_O^t)I_O + W(V_O^t)A \circ \mathbf{W}(V_B^t)I_B \quad (5)$$

$$= \mathbf{W}(V_O^t)I_O + W(V_O^t)A \circ \mathbf{W}(V_B^t)I_B \quad (6)$$

具体操作

由于 α 混合掩膜是由障碍物产生的，因此， α 混合掩膜的运动状态与障碍物 I_O 相同，与背景 I_B 无关。

因此，我们可以进行如下化简：

将 $(1 - A) \circ I_O$ 简记作 I_O ，原方程可化简为：

$$I^t = \mathbf{W}(V_O^t)(1 - A) \circ \mathbf{W}(V_O^t)I_O + W(V_O^t)A \circ \mathbf{W}(V_B^t)I_B \quad (5)$$

$$= \mathbf{W}(V_O^t)I_O + W(V_O^t)A \circ \mathbf{W}(V_B^t)I_B \quad (6)$$

特别而言，由前所述，在反射的情况中， α 混合掩膜是常数 $A = \alpha$ ，因此我们可以记 $I_B = \alpha I_B$ ，且 $W(V_O^t)A = \alpha$ 进而，上式可以化简为

$$I^t = \mathbf{W}(V_O^t)I_O + \mathbf{W}(V_B^t)I_B \quad (7)$$

具体操作

由于 α 混合掩膜是由障碍物产生的，因此， α 混合掩膜的运动状态与障碍物 I_O 相同，与背景 I_B 无关。

因此，我们可以进行如下化简：

将 $(1 - A) \circ I_O$ 简记作 I_O ，原方程可化简为：

$$I^t = \mathbf{W}(V_O^t)(1 - A) \circ \mathbf{W}(V_O^t)I_O + W(V_O^t)A \circ \mathbf{W}(V_B^t)I_B \quad (5)$$

$$= \mathbf{W}(V_O^t)I_O + W(V_O^t)A \circ \mathbf{W}(V_B^t)I_B \quad (6)$$

特别而言，由前所述，在反射的情况中， α 混合掩膜是常数 $A = \alpha$ ，因此我们可以记 $I_B = \alpha I_B$ ，且 $W(V_O^t)A = \alpha$ 进而，上式可以化简为

$$I^t = \mathbf{W}(V_O^t)I_O + \mathbf{W}(V_B^t)I_B \quad (7)$$

因此，我们的目标即为根据参考帧 t_0 以及图像序列 I^t 的信息，在不知道运动场 V_B^t ， V_O^t 以及 A 的情况下，确定背景 I_B 和 I_O 。

基于运动进行分解

由上文，在一般情况下， A 并不是常数，因此我们将先讨论 A 随空间位置变化的情况：

由前文中的图像分解方程，我们可以设置数据项 (data term) 为：

$$\sum_t ||I^t - \mathbf{W}(V_O^t)I_O - W(V_O^t)A \circ \mathbf{W}(V_B^t)I_B||_1 \quad (8)$$

除此以外，由文献 [1]，由于背景图像是自然景象，我们知道 I_O 和 I_B 的梯度符合重尾分布

$$||\nabla I_O||_1 + ||\nabla I_B||_1 \quad (9)$$

基于运动进行分解

又由于 α 映射通常比自然图像更加平滑，因此，我们认为其梯度应该遵循高斯分布，且对其 l_2 范数进行限制 (penalize)

$$||\nabla A||^2 \quad (10)$$

基于运动进行分解

又由于 α 映射通常比自然图像更加平滑, 因此, 我们认为其梯度应该遵循高斯分布, 且对其 l_2 范数进行限制 (penalize)

$$\|\nabla A\|^2 \quad (10)$$

除此以外, 由于背景图像和障碍物大多时候是独立存在的。因此, 如果在输入的图像上出现了较大的梯度变化, 我们认为是二者之中的一个所导致的, 而不是二者一起导致的, 因此, 我们还需要施加下述限制:

$$L(I_O, I_B) = \sum_x \|\nabla I_O(x)\|^2 \|\nabla I_B(x)\|^2 \quad (11)$$

其中, x 为空间索引, 即空间位置坐标, $\nabla I_B(x)$ 是图像 I_B 在点 x 处的梯度

基于运动进行分解

由于两帧照片之间的时间间隔较短，因此，当运动比较细微时，光流（物体所成像的瞬时速度）可以用一阶 Taylor 展开式写作：

$$I_x u + I_y v + I_t = 0 \quad (12)$$

其中， I_x, I_y, I_t 是图像 $I(x, y, t)$ 的一阶偏导数， (u, v) 是光流的位置向量。

基于运动进行分解

由于两帧照片之间的时间间隔较短，因此，当运动比较细微时，光流（物体所成像的瞬时速度）可以用一阶 Taylor 展开式写作：

$$I_x u + I_y v + I_t = 0 \quad (12)$$

其中， I_x, I_y, I_t 是图像 $I(x, y, t)$ 的一阶偏导数， (u, v) 是光流的位置向量。在我们的问题中，可以记作下式：

$$\sum_t \|\nabla V_O^t\|_1 + \|\nabla V_B^t\|_1 \quad (13)$$

基于运动进行分解

综上所述，我们的目标优化函数为：

$$\min \Sigma_t ||I^t - \mathbf{W}(V_O^t)I_O - W(V_O^t)A \circ \mathbf{W}(V_B^t)I_B||_1 + \quad (14)$$

$$\lambda_1 ||\nabla A||^2 + \lambda_2 (||\nabla I_O||_1 + ||\nabla I_B||_1) + \lambda_3 L(I_O, I_B) + \lambda_4 \Sigma_t ||\nabla V_O^t||_1 + ||\nabla V_B^t||_1 \quad (15)$$

同时，需要满足约束条件

$$0 \leq I_O, I_B, A \leq 1 \quad (16)$$

基于运动进行分解

综上所述，我们的目标优化函数为：

$$\min \Sigma_t ||I^t - \mathbf{W}(V_O^t)I_O - W(V_O^t)A \circ \mathbf{W}(V_B^t)I_B||_1 + \quad (14)$$

$$\lambda_1 ||\nabla A||^2 + \lambda_2 (||\nabla I_O||_1 + ||\nabla I_B||_1) + \lambda_3 L(I_O, I_B) + \lambda_4 \Sigma_t ||\nabla V_O^t||_1 + ||\nabla V_B^t||_1 \quad (15)$$

同时，需要满足约束条件

$$0 \leq I_O, I_B, A \leq 1 \quad (16)$$

其中， λ_i 代表上述约束的权重，我们根据文献 [2] 给定 $\lambda_1 = 1$, $\lambda_2 = 0.1$, $\lambda_3 = 3000$, $\lambda_4 = 0.5$.

求解优化问题

采用梯度下降法求解上述优化问题, 首先, 给定运动场 V_O^t, V_B^t , 忽略只与 V_O^t, V_B^t 有关的项, 求解 I_O, I_B 和 A :

$$\min_{\{I_O, I_B, A\}} \sum_t \|I^t - \mathbf{W}_O^t I_O - \mathbf{W}_O^t A \circ \mathbf{W}_B^t I_B\|_1 + \lambda_1 \|\nabla A\|^2 + \lambda_2 (\|\nabla I_O\|_1 + \|\nabla I_B\|_1) + \lambda_3 L(I_O, I_B), \quad (10)$$

约束条件为:

$$0 \leq I_O, I_B, A \leq 1 \quad (17)$$

求解优化问题

我们应用修正后的迭代重加权最小二乘 (IRLS) 法²解上述方程。原本的 IRLS 方法是用于求解仅含有 l_1, l_2 范数的无约束最优化问题，因此，我们需要对目标的优化式进行线性化处理。具体而言，我们用

$$xy = x\hat{y} + \hat{x}y - \hat{x}\hat{y} \quad (18)$$

进行线性近似，将上式的第一项改写为：

$$\|I^t - \mathbf{W}_O^t I_O - \mathbf{W}_O^t A \circ \mathbf{W}_B^t \hat{I}_B - \mathbf{W}_O^t \hat{A} \circ \mathbf{W}_B^t I_B + \mathbf{W}_O^t \hat{A} \circ \mathbf{W}_B^t \hat{I}_B\|_1.$$

²使用迭代的方式解决带权重的 L^p 范数逼近问题。

求解优化问题

我们应用修正后的迭代重加权最小二乘 (IRLS) 法²解上述方程。原本的 IRLS 方法是用于求解仅含有 l_1, l_2 范数的无约束最优化问题，因此，我们需要对目标的优化式进行线性化处理。具体而言，我们用

$$xy = x\hat{y} + \hat{x}y - \hat{x}\hat{y} \quad (18)$$

进行线性近似，将上式的第一项改写为：

$$\|I^t - \mathbf{W}_O^t I_O - \mathbf{W}_O^t A \circ \mathbf{W}_B^t \hat{I}_B - \mathbf{W}_O^t \hat{A} \circ \mathbf{W}_B^t I_B + \mathbf{W}_O^t \hat{A} \circ \mathbf{W}_B^t \hat{I}_B\|_1.$$

同样地，我们将上文中梯度变化独立性的约束条件同样进行线性化处理，得到

$$\begin{aligned} {}^3L(I_O, I_B) &= \sum_x \|\nabla I_O\|^2 \|\nabla I_B\|^2 \approx \sum_x \|\nabla \hat{I}_O\|^2 \|\nabla I_B\|^2 + \\ &\|\nabla I_O\|^2 \|\nabla \hat{I}_B\|^2 - \|\nabla \hat{I}_O\|^2 \|\nabla \hat{I}_B\|^2 = L(\hat{I}_O, I_B) + L(I_O, \hat{I}_B) - \\ &L(\hat{I}_O, \hat{I}_B). \end{aligned}$$

²使用迭代的方式解决带权重的 L^p 范数逼近问题。

由于 IRLS 算法中不能加入约束条件，因此，我们将约束条件

$$0 \leq I_O, I_B, A \leq 1 \quad (19)$$

进行转化。

例如，我们将不等式 $0 \leq I_B$ 转化为如下限制，并加入目标函数中：

$$\lambda_p \min(0, I_B)^2 \quad (20)$$

求解优化问题

由于 IRLS 算法中不能加入约束条件，因此，我们将约束条件

$$0 \leq I_O, I_B, A \leq 1 \quad (19)$$

进行转化。

例如，我们将不等式 $0 \leq I_B$ 转化为如下限制，并加入目标函数中：

$$\lambda_p \min(0, I_B)^2 \quad (20)$$

我们给定 $\lambda_p = 10^5$ 。此时，若 I_B 小于 0，随着 I_B 越小，这一项对于整体目标函数的惩罚越大，而 I_B 大于 0 时，该项为 0。对于约束条件中的其他项，用类似的方法处理即可。

求解优化问题

接下来，只需仿照上述步骤，给定 I_O, I_B, A ，并用同样的 IRLS 方法求解 V_O^t 和 V_B^t 即可。

求解优化问题

接下来，只需仿照上述步骤，给定 I_O, I_B, A ，并用同样的 IRLS 方法求解 V_O^t 和 V_B^t 即可。

除此以外，我们还需要在使用上述算法前找出运动场。对此，我们首先估计图像的运动情况。本文应用“edge flow”算法，用“Canny edge detector”探测图像边缘像素，其梯度通常较大。再应用离散 Markov random field 计算每个边缘像素的运动情况。